

การเปลี่ยนแปลงตามอุดมคุณของ การคุดกี้และส่งพื้นฐานของ  
คุณเปอร์อันเดียน ไดซ์ลีโน่ และส่วนทางของเออบาค



ศูนย์วิทยทรัพยากร  
วิทยานิพนธ์ เป็นส่วนหนึ่งของการศึกษาตามหลักสูตรปริญญาวิทยาศาสตร์มหาบัณฑิต  
จุฬาลงกรณ์มหาวิทยาลัย  
ภาควิชาฟิสิกส์  
บัณฑิตวิทยาลัย จุฬาลงกรณ์มหาวิทยาลัย

พ.ศ. 2531

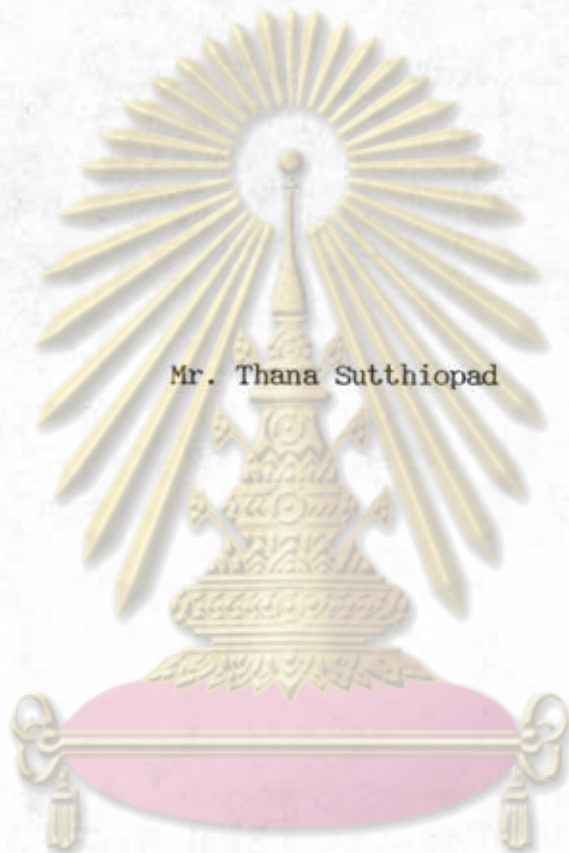
ISBN 974-569-497-5

ลิขสิทธิ์ของบัณฑิตวิทยาลัย จุฬาลงกรณ์มหาวิทยาลัย

014391

๑๙๘๘๔๔๖๒

Temperature Dependence of the Fundamental Absorption  
of Copper Indium Diselenide and the Urbach Tail



Mr. Thana Sutthiopad

A Thesis Submitted in Partial Fulfillment of the Requirements  
for the Degree of Master of Science

จุฬาลงกรณ์มหาวิทยาลัย  
Graduate School

Chulalongkorn University

1988

ISBN 974-569-497-5

หัวข้อวิทยานิพนธ์ การเปลี่ยนแปลงตามอุณหภูมิของการคุ้มครองสิ่งพื้นฐานของ  
คอปเปอร์อินเดียม ไดซีลในต์ และส่วนหางของเออบาค  
โดย นายธนา สุกชัยโภภัส  
ภาควิชา พลังก์  
อาจารย์ที่ปรึกษา ผู้ช่วยศาสตราจารย์ สมพงศ์ อัตรการณ์  
อาจารย์ ดร. ชจรายศ อรุณรัตน์

นักศึกษาจัดทำ จุฬาลงกรณ์มหาวิทยาลัย อภิญญาให้นับวิทยานิพนธ์ฉบับนี้เป็นส่วน  
หนึ่งของการศึกษาตามหลักสูตรปริญญามหาบัณฑิต

..... ลงนาม ..... คณะกรรมการ  
(ศาสตราจารย์ ดร. ภาวร วัชรนภัย)

คณะกรรมการสอบวิทยานิพนธ์

..... ลงนาม ..... ประธานกรรมการ  
(รองศาสตราจารย์ ดร. วิจิตรา เสิงสะพันธุ์)

..... ลงนาม ..... กรรมการ  
(ศาสตราจารย์ ดร. วิรุฬห์ สายคณิต)

..... ลงนาม ..... กรรมการ  
(ผู้ช่วยศาสตราจารย์ กิริณี รัตนธรรมพันธ์)

..... ลงนาม ..... กรรมการ  
(ผู้ช่วยศาสตราจารย์ สมพงศ์ อัตรการณ์)

..... ลงนาม ..... กรรมการ  
(อาจารย์ ดร. ชจรายศ อรุณรัตน์)



พิมพ์ด้นฉบับทัศน์อวิทยานิพนธ์ภาบในกรอบลีเพื่อนี้เพียงแผ่นเดียว

ฐาน ศุทธิโภกาต : การเปลี่ยนแปลงตามอุณหภูมิของการดูดกลืนแสงพื้นฐานของโคปเปอร์ อินเดียมไดซีลไนด์ และส่วนหางของเออบาค (TEMPERATURE DEPENDENCE OF THE FUNDAMENTAL ABSORPTION OF COPPER INDIUM DISELENIDE AND THE URBACH TAIL) อ.ที่ปรึกษา : ผศ.สมพงษ์ จัตราวรรณ และ อ.ดร.ชารย์ อยู่ดี, 115 หน้า.

ในงานวิจัยนี้ได้ทำการศึกษาสมบัติการดูดกลืนแสงในช่วงพลังงานใกล้เคียงกับขอบเขตการดูดกลืนแสงพื้นฐานของผลึกเดี่ยวที่ตัวนำคือโคปเปอร์อินเดียมไดซีลไนด์พี型 (p-type) ผลึกเดี่ยวโคปเปอร์อินเดียมไดซีลไนด์นี้ได้เตรียมขึ้นโดยวิธีไดเรกชันแมลฟริชิง ผลจากการทดลองแสดงให้เห็นว่าสารกึ่งตัวนำโคปเปอร์อินเดียมไดซีลไนด์มีขนาดช่องว่างແນาพลังงานเป็นแบบทรงอยู่ระหว่าง 0.978 และ 1.000 eV ที่อุณหภูมิระหว่าง 300 ถึง 11 K ตามลำดับ การเปลี่ยนแปลงขนาดช่องว่างແນาพลังงานสามารถจะเปรียบเทียบได้กับสมการของมานูเกียนซึ่งให้ค่า  $E_g(0) = 1.000 \text{ eV}$   $\theta = 365 \text{ K}$  และ  $dE_g/dT = -1.12 \times 10^{-4} \text{ eV/K}$

ในการดูดกลืนแสงพบว่ามีส่วนหางของเออบาคใกล้ขอบเขตการดูดกลืนแสงพื้นฐาน ข้อมูลของผลการทดลองสามารถกำหนดให้อยู่ในเทอมของสมการเอ็กซ์ปอยเมเนเชียลอย่างง่ายของเออบาคได้ ซึ่งให้ค่า  $\alpha_1 = 3.6 \times 10^4 \text{ cm}^{-1}$   $E_1 = 1.03 \text{ eV}$  ส่วนหางของเออบาคนี้มีความกว้างเอ็กซ์ปอยเมเนเชียลเท่ากับ 7.4 - 11.8 meV ในช่วงอุณหภูมิ 11 ถึง 300 K การเปลี่ยนแปลงตามอุณหภูมิของขนาดช่องว่างແນาพลังงานและความกว้างเอ็กซ์ปอยเมเนเชียลมีความคล้ายคลึงกันและเกิดขึ้นจากในอนแบบเดียวกัน ความสัมพันธ์เชิงเส้นระหว่างขนาดช่องว่างແນาพลังงานและความกว้างเอ็กซ์ปอยเมเนเชียลคือ  $E_g(T) = 1.039 - 4.95 E_0(T)$

# ศูนย์วิทยทรัพยากร จุฬาลงกรณ์มหาวิทยาลัย

ภาควิชา ... ฟิสิกส์  
สาขาวิชา ... ฟิสิกส์  
ปีการศึกษา ... 2531

ลายมือชื่อนักศึกษา ... ๖๗๙  
ลายมือชื่ออาจารย์ที่ปรึกษา ... ๖๗๙/๔๘๗  
๖๗๙/๔๘๗

พิมพ์ต้นฉบับทั้งหมดโดยวิทยานิพนธ์ภาคในกรอบสีเขียวเพื่อป้องกันเดียว

THANA SUTTHIOPAD : TEMPERATURE DEPENDENCE OF THE FUNDAMENTAL ABSORPTION OF COPPER INDIUM DISELENIDE AND THE URBACH TAIL.  
THESIS ADVISORS : ASSISTANT PROFESSOR SOMPHONG CHATRAPHORN AND Dr. KAJORNYOD YOODEE, Ph.D. 1115 FPP.

In this research, the properties of the optical absorption near the fundamental absorption edges of a single crystal p-type CuInSe<sub>2</sub> were studied. The single crystal was prepared by the directional-freezing method. The experimental results show that the CuInSe<sub>2</sub> semiconductor has direct energy gaps between 0.978 and 1.000 eV at temperatures from 300 K down to 11 K respectively. The temperature dependence of these energy gaps can be well fitted to the Manoogian's equation which gives  $E_g(0) = 1.000$  eV,  $\Theta = 365$  K, and  $dE_g/dT = -1.12 \times 10^{-4}$  eV/K.

Urbach tails in optical absorption near the band edges were also observed. These data can be expressed in terms of a simple exponential of Urbach's equation with  $\alpha_1 = 3.6 \times 10^4$  cm<sup>-1</sup>,  $E_1 = 1.03$  eV. The Urbach tail have exponentials widths of 7.4 - 11.8 meV in the temperature range 11 - 300 K. The temperature dependence of energy gap and Urbach tail are very similar with the same phonon energies. The linear relationship between the energy gap and the width of exponential is  $E_g(T) = 1.039 - 4.95 E_o(T)$

ศูนย์วิทยทรัพยากร  
จุฬาลงกรณ์มหาวิทยาลัย

ภาควิชา ..... พลังส์  
สาขาวิชา ..... พลังส์  
ปีการศึกษา ..... 2531.....

ลายมือชื่อนิสิต ..... ธนา ..... สุรัชดา ใจดี  
ลายมือชื่ออาจารย์ที่ปรึกษา ..... ศาสตราจารย์ ดร. วิรุณ ใจดี

## กิตติกรรมประกาศ

วิทยานิพนธ์ฉบับนี้ได้สำเร็จลุล่วงไปได้ ด้วยความกรุณาของผู้ช่วยศาสตราจารย์ สมพงศ์ ฉัตรารักษ์ และอาจารย์ ดร. ชจรายศ อธุศี ที่ได้ให้คำแนะนำ ตลอดจนช่วยแก้ไขภาษาและควบคุมการวิจัยอย่างใกล้ชิดตลอดมา อีกทั้งได้รับการสนับสนุนอย่างดีอีกด้วย จากท่าน ศาสตราจารย์ ดร. วิรุฬห์ ส่ายคอมพิท รองศาสตราจารย์ จงอร พีระนันท์ ผู้ช่วยศาสตราจารย์ กิริณัต วัฒนธรรมพันธ์ ผู้ช่วยศาสตราจารย์ ดร. วิชิต ศรีตระกูล อาจารย์ ชเน ผิวส่อง และคณะผู้ช่วยพิสิกรส์สารกึ่งตัวนำ ภาควิชาพิสิกรส์ คณะวิทยาศาสตร์ จุฬาลงกรณ์มหาวิทยาลัย ที่ได้ให้คำปรึกษา และแนะนำเกี่ยวกับวิชาการทางด้านพิสิกรส์สาร กึ่งตัวนำ และอำนวยความสะดวกในการวิจัย

ขอขอบคุณ คุณโอลิฟาร์ บัวผ่อง และ คุณดูญ แสงผัด เจ้าหน้าที่ประจำห้องปฏิบัติการ หน่วยวิจัยพิสิกรส์สาร กึ่งตัวนำ ภาควิชาพิสิกรส์ ที่ได้ช่วยอำนวยความสะดวกเกี่ยวกับเครื่องมือต่าง ๆ ที่ใช้ในการวิจัย ตลอดจนนิสิต โปรแกรมบริัญญาดุษฎีบูรณะ คุณแพปูร สุกษ์มิตร และนิสิต โปรแกรมหนานมั่นพิท อันได้แก่ คุณพงษ์ ทรงพงษ์ คุณกัลยา เอี้ยประเสริฐศักดิ์ คุณนากร โภสตจันทร์ คุณวิชิต ศรีไชเดช และคุณงานกิติย์ วงศ์เจริญ ซึ่งทุกท่านมีส่วนช่วยให้เนื้อหาของวิทยานิพนธ์ฉบับนี้สมบูรณ์ยิ่งขึ้น

## หุ้นส่วนก่อรัฐประหาร

ขอขอบคุณ ดร. วิโรจน์ ตันตราภรณ์ และนวิชาก เย็นเนอรัลลิเจนซ์ ที่ได้มอบอุปกรณ์การทดลองจำนวนหนึ่ง รวมทั้งเครื่องวัดต่าง ๆ ที่ใช้ในการวิจัย

งานวิจัยนี้เป็นส่วนหนึ่งของโครงการวิจัยที่ได้รับการสนับสนุนจาก บุคลากร มหาวิทยาลัย ภายใต้โครงการพัฒนาหน่วยวิจัย (Unit Cell) จึงขอขอบคุณไว้ ณ ที่นี่

## สารนัย

	หน้า
บทคัดย่อภาษาไทย .....	๗
บทคัดย่อภาษาอังกฤษ .....	๙
กิตติกรรมประกาศ .....	๑๖
สารนัยค่าร่าง .....	๗๙
สารนัยรูป .....	๘๒
บทที่ ๑ บทนำ .....	๑
บทที่ ๒ สารกึ่งตัวนำ .....	๕
2.1 ชนิดของสารกึ่งตัวนำ .....	๗
2.1.1 ผลิกกึ่งตัวนำของธาตุเดียว .....	๗
2.1.2 ผลิกกึ่งตัวนำของสารประกอบเชิงคู่ .....	๗
2.1.2.1 กลุ่ม II-VI .....	๗
2.1.2.2 กลุ่ม III-V .....	๗
2.1.3 ผลิกกึ่งตัวนำของสารประกอบเชิงสาม .....	๘
2.1.3.1 กลุ่ม I-III-VI <sub>2</sub> .....	๘
2.1.3.2 กลุ่ม II-IV-V <sub>2</sub> .....	๘
2.1.4 โลหะสมกึ่งตัวนำ .....	๘
2.2 โครงสร้างผลิกของสารกึ่งตัวนำ .....	๙
2.2.1 โครงสร้างแบบเพชร .....	๙
2.2.2 โครงสร้างแบบสฟ้าเลอว์หรือแบบชิงค์เบลนด์ .....	๑๐
2.2.3 โครงสร้างแบบชาลโคลไไฟโรท์ .....	๑๑

## สารบัญ (ต่อ)

	หน้า
2.3 โครงการสร้างแบบพลังงานของสารกั้งตัวนำ .....	13
2.3.1 โครงการสร้างแบบพลังงานของโครงการผลิตกล้าวยาเหชร .....	13
2.3.2 โครงการสร้างแบบพลังงานของผลิตแบบเกิงค์เบลนด์ ..	14
2.3.3 โครงการสร้างแบบพลังงานของผลิตแบบษาราโล่ไฟโรท.	14
บทที่ 3 สมบัติการดูดกลืนแสงของสารกั้งตัวนำ .....	16
3.1 กฎหมายการดูดกลืนแสง .....	16
3.2 การวัดสัมประสิทธิ์การดูดกลืนแสง .....	21
บทที่ 4 การเปลี่ยนแปลงขนาดของว่างแบบพลังงานตามอุณหภูมิ .....	24
4.1 ผลกระทบของการขยายตัวของโครงการสร้างผลิตเนื่องจากอุณหภูมิ ...	25
4.2 ผลกระทบการวิเคราะห์ว่างอิเล็กตรอนกับไฟฟ้าอน .....	26
4.3 แบบจำลองเชิงกฎหมาย .....	29
บทที่ 5 ส่วนทางของเอนบาก .....	33
5.1 ความไม่เป็นระเบียบและส่วนทางของเอนบาก .....	34
5.2 ความหนาแน่นของระดับพลังงาน .....	38
5.3 ขนาดของว่างแบบพลังงานและความกว้างอิเล็กซ์ปีโนนีเชื้อ.	41
บทที่ 6 การทดลองและผลการทดลอง .....	43
6.1 การเตรียมขั้นสาร .....	43
6.1.1 การตัดผลิกเตี้ยด้วยเครื่องสกริงช้อ .....	43
6.1.2 การขัดขันผลิกด้วยเครื่องบีด .....	44
6.1.3 การกัดผิวน้ำของขันผลิกด้วยสารละลายเคมี ..	45
6.2 ระบบการทดลองและวิธีการวัดสัมประสิทธิ์การดูดกลืนแสง ..	47
6.3 การวิเคราะห์หาค่าขนาดของว่างแบบพลังงาน .....	50

## สารบัญ (ต่อ)

	หน้า
6.4 การเปรียบเทียบการเปลี่ยนแปลงขนาดช่องว่างแผนพัฒางาน ตามอุปกรณ์กันแบบจำลองเชิงทฤษฎี .....	54
6.5 การวิเคราะห์หาความกว้างเอื้องที่ไม่แน่นี้ของส่วนทาง ของขอบเขต .....	59
6.6 การพิจารณาการเกิดส่วนทางของขอบเขต .....	63
6.7 ความสัมพันธ์ระหว่างขนาดช่องว่างแผนพัฒางานกับความ กว้างเอื้องที่ไม่แน่นี้ของส่วนทาง .....	64
บทที่ 7 สรุปและวิจารณ์ผล .....	68
เอกสารอ้างอิง .....	71
ภาคผนวก .....	75
ประวัติผู้เขียน .....	114



# ศูนย์วิทยทรัพยากร จุฬาลงกรณ์มหาวิทยาลัย

## สารบัญตาราง

ตารางที่	หน้า
6.1 แสดงขนาดช่องว่างแกนพลังงานในช่วงอุณหภูมิ 11 ถึง 300 K ...	53
6.2 เปรียบเทียบพารามิเตอร์ที่สำคัญที่ได้จากการเปรียบเทียบขนาด ช่องว่างแกนพลังงานกับแบบจำลองแบบต่าง ๆ .....	55
6.3 แสดงความกว้างเอ็คซ์ปีเมนเชื่อลในช่วงอุณหภูมิ 11 ถึง 300 K .	61
6.4 แสดงพารามิเตอร์ที่ได้จากการพิจารณาความกว้างเอ็คซ์ปีเมน เชื่อลเปรียบเทียบกับแบบจำลองของโอดี .....	64



ศูนย์วิทยทรัพยากร  
จุฬาลงกรณ์มหาวิทยาลัย

## สารนัญชูป

หัวที่	หน้า
2.1 แสดงความสัมพันธ์ระหว่างสารกึ่งต้านนำที่มีโครงสร้างผลิกคล้าย เพชรในกลุ่มต่าง ๆ .....	9
2.2 แสดงโครงสร้างผลิกแบบเพชร ที่เกิดจากการนำโครงสร้างผลิก แบบกึ่งกลางผิวน้ำรูปปูกนาศก์มาวางเหลื่อมกันด้วยการซัด ( $1/4$ , $1/4$ , $1/4$ ) .....	10
2.3 แสดงโครงสร้างผลิกแบบเชิงค์เบลน์ของ ZnSe .....	11
2.4 เปรียบเทียบโครงสร้างผลิกแบบเชิงค์เบลน์กลุ่ม II-VI กับ <sup>2</sup> โครงสร้างผลิกแบบชัลโคลไฟโรท์กลุ่ม I-III-VI <sub>2</sub> .....	12
2.5 แสดงโครงสร้างแบบพลังงานของ ก. Ge ท. Si ค. GaAs ในรีดิวซ์โซน .....	13
2.6 แสดงการแยกของแบบเวลาเหล่านี้ของผลิกแบบชัลโคลไฟโรท์ .....	15
3.1 แสดงการข่ายสถานะพลังงานแบบตรัง .....	20
3.2 แสดงการข่ายสถานะแบบเจียงชิ่งจะต้องมีไฟน่อนเข้ามาเกี่ยวข้อง ด้วย ทำให้มีการเปลี่ยนแปลงเวลาเดอร์คลิน .....	20
3.3 แสดงการทดลองวัดสัมประสิทธิ์การดูดกลืนแสง .....	21
3.4 ก. แสดงตัวอย่างแบบนับผลการทดลองวัดสัมประสิทธิ์การดูดกลืน แสง	
ข. แสดงการข่ายสถานะพลังงานสอดคล้องกับการดูดกลืนแสงใน ช่วงต่าง ๆ .....	23
4.1 แสดงการเปลี่ยนแปลงขนาดช่องว่างแบบพลังงานเปรียบเทียบกับ แบบจำลองของวาร์ชี ก. เพชร ท. Si และ 6H SiC .....	31
5.1 แสดงการดูดกลืนแสงที่ฐานของ GaAs และการดูดกลืนส่วนทาง ..	33

### สารบัญรูป (ต่อ)

รูปที่	หน้า
5.2 แสดงค่า $n$ กับ $\nu$ โดยที่ $\nu = 2m^* L^2 (E_1 - E) / \hbar^2$ สำหรับศักย์ที่จะจำแนกสาร (—) และพังก์ชัน สกอร์คูลอมบ์ (---) .....	40
6.1 แสดงระบบการวัดสัมประสิทธิ์การดูดกลืน .....	46
6.2 แสดงการหาค่าสัมประสิทธิ์การดูดกลืนแบบเสียง ( $\alpha_0$ ) และ ค่าสัมประสิทธิ์การดูดกลืนเฉพาะที่เกี่ยวข้องกับการอ้ายสถานะ พลังงานข้างในของแบบพลังงาน ( $\alpha - \alpha_0$ ) ของผลิกเดียว คงปีเปอร์อินเดียมไดซ์ลในค่าอุณหภูมิ 300 K .....	49
6.3 แสดงค่าสัมประสิทธิ์การดูดกลืน ( $\alpha - \alpha_0$ ) ของผลิกเดียว คงปีเปอร์อินเดียมไดซ์ลในค่าอุณหภูมิ 100, 125, 150, 175, 200, 225, 250, 275, 300 K .....	49
6.4 แสดงค่าสัมประสิทธิ์การดูดกลืน ( $\alpha - \alpha_0$ ) ของผลิกเดียว คงปีเปอร์อินเดียมไดซ์ลในค่าอุณหภูมิ 11, 20, 30, 40, 50, 75 K .....	50
6.5 กราฟระหว่าง $h\nu$ กับ $((\alpha - \alpha_0)h\nu)^2$ ของผลิกเดียวคงปีเปอร์ อินเดียมไดซ์ลในค่าอุณหภูมิ 300 K โดยมีขนาดของว่างแบบ พลังงานเท่ากับ 0.978 eV แสดงว่าคงปีเปอร์อินเดียมได ซ์ลในค่าคงสร้างแบบพลังงานเป็นแบบตรง .....	51
6.6 เปรียบเทียบค่าสัมประสิทธิ์การดูดกลืนเมื่อเทียบกับการดูดกลืนเสียง พื้นฐานที่ได้จากการวัด (●) กับการคำนวณ (—) ตาม สมการ (6.2) แสดงให้เห็นว่าคงปีเปอร์อินเดียมไดซ์ลในค่าคง สร้างแบบพลังงานเป็นแบบตรง ที่อุณหภูมิ 11, 100, 150, 200, 250 และ 300 K .....	52

## สารบัญรูป (ต่อ)

รูปที่	หน้า
6.7 เปรียบเทียบการเปลี่ยนแปลงขนาดของว่างແກบพลังงานตามอุณหภูมิ ของคอเปเปอร์อินเดียม ไดชีล ในค์กันแบบจำลองวาร์ธนี โดยมี $E_s(0) = 1.002 \text{ eV}$ , $a = 1.08 \times 10^{-4} \text{ eV/K}$ และ $b = 133 \text{ K}$ .....	56
6.8 เปรียบเทียบการเปลี่ยนแปลงขนาดของว่างແກบพลังงานตามอุณหภูมิ ของคอเปเปอร์อินเดียม ไดชีล ในค์กันแบบจำลองมาโน่เก็น โดยมี $E_s(0) = 1.000 \text{ eV}$ , $c = 2.39 \times 10^{-8} \text{ eV/K}^{-2.38}$ , $d = -1.32 \times 10^{-4} \text{ ev/K}$ และ $s = 2.38$ .....	57
6.9 เปรียบเทียบการเปลี่ยนแปลงขนาดของว่างແກบพลังงานตามอุณหภูมิ ของคอเปเปอร์อินเดียม ไดชีล ในค์กันแบบจำลองบนราชฐานของแบบ จำลองไอน์สไตน์ จากข้อมูลในช่วงอุณหภูมิ $11 - 225 \text{ K}$ (—) และจากข้อมูลในช่วงอุณหภูมิ $11 - 300 \text{ K}$ (---) .....	58
6.10 แสดงกราฟระหว่าง $\ln\alpha$ กับ $h\nu$ บริเวณส่วนทางซ้ายของเส้นภาคที่ บางอุณหภูมิ โดยมีค่า $\alpha_1 = 3.6 \times 10^4 \text{ cm.}^{-1}$ และ $E_1 = 1.03 \text{ eV}$ .....	60
6.11 กราฟระหว่างจดติดแกน $\ln\alpha$ ( $\ln\alpha_1 - E_1/E_0$ ) กับพารา มิเตอร์ความถี่ $(1/E_0)$ โดยมีค่า $\alpha_1 = 3.6 \times 10^4$ $\text{cm.}^{-1}$ และ $E_1 = 1.03 \text{ eV}$ .....	62
6.12 เปรียบเทียบการเปลี่ยนแปลงความกว้างเอ็กซ์ป์ไมเนช์ผลตาม อุณหภูมิกันแบบจำลองของโดยดีจากข้อมูลในช่วงอุณหภูมิ $11 - 225 \text{ K}$ (—) และจากข้อมูลในช่วงอุณหภูมิ $11 - 300 \text{ K}$ (---) .....	64
6.13 เปรียบเทียบลักษณะการเปลี่ยนแปลงขนาดของว่างແກบพลังงานและ ความกว้างเอ็กซ์ป์ไมเนช์ผลตามอุณหภูมิ เพื่อให้ลักษณะการ เปลี่ยนแปลงของทั้งสองมีลักษณะที่เหมือนกัน .....	66

สารนัยรูป (ต่อ)

รุ่นที่		หน้า
6.14	การพิจารณาค่าชดเชยและค่าเดินทางของบุคลากรที่มีภาระสอนในสถาบันฯ ที่ไม่ได้รับค่าตอบแทนตามเงื่อนไขของสัญญาฯ	67



ศูนย์วิทยทรัพยากร  
จุฬาลงกรณ์มหาวิทยาลัย